

# بررسی اثرات ذرات تقویت کننده اکسید آهن ( $Fe_3O_4$ ) بر رفتار مکانیکی و مغناطیسی ماده مرکب زمینه مس تولید شده به روش اتصال تجمعی نورد

امیرحسین اسلامی<sup>\*</sup>، محمد محسن مشکسار<sup>۲</sup>، سید مجتبی زبرجد<sup>۳</sup>

۱- دانشگاه آزاد اسلامی، واحد شیراز، شیراز، ایران

۲- استاد، دانشکده مهندسی، دانشگاه آزاد واحد مرودشت، شیراز، ایران

۳- استاد دانشکده مهندسی، دانشگاه شیراز، شیراز، ایران

\*Amir.hossein.E@hotmail.com

(تاریخ دریافت: ۱۳۹۱/۰۸/۰۱، تاریخ پذیرش: ۱۳۹۱/۱۱/۰۳)

## چکیده

روش تغییر شکل شدید پلاستیک (Severe Plastic Deformation) روشی است که برای تولید پیوسته مواد میکرو و نانوساختار استفاده می شود. از بین روشهای SPD روش نورد تجمعی (ARB) به عنوان یکی از مهمترین روشهای برای تولید مواد با استحکام بالا مطرح می باشد. در پژوهش حاضر از فرآیند اتصال نورد تجمعی به منظور تولید کامپوزیت لایه ای  $Cu/Fe_3O_4$  با نسبت های مختلف ۱٪ و ۲٪ وزنی از میکرو ذرات  $Fe_3O_4$  و ورق های مس خالص تجاری استفاده شد. پس از پنج سیکل فرایند ARB توزیع مناسبی از ذرات تقویت کننده اکسید آهن در زمینه ریز ساختار مس به دست آمد. خواص مکانیکی (سختی و استحکام کششی) و مغناطیسی (اشباع، پایداری و پسماند مغناطیسی) این کامپوزیت طی مراحل مختلف فرایند ARB مورد مطالعه قرار گرفت که ایجاد حالت کامپوزیت لایه ای ریز ساختار، سبب بهبود خواص مکانیکی شامل (سختی و استحکام کششی) در مس گردید. همچنین تاثیر حضور ذرات تقویت کننده اکسید آهن (مگنتیت) در افزایش خاصیت مغناطیسی در مراحل مختلف با دستگاه مغناطیس سنج VSM مورد بررسی قرار گرفت.

## واژه های کلیدی:

اتصال نورد تجمعی، کامپوزیت لایه ای، خواص مکانیکی، خواص مغناطیسی

## ۱- مقدمه

است. ریز شدن اندازه دانه یکی از روشهای مهم استحکام بخشی مواد است که نسبت به سایر روشهای استحکام بخشی از اهمیت ویژه ای برخوردار می باشد. با این روش می توان همزمان به ترکیب مناسبی از استحکام و چکش خواری دست یافت. در حالیکه در روشهای دیگر، افزایش استحکام با کاهش چکش خواری همراه می باشد. بطور کلی رابطه بین استحکام ماده با

پیشرفتهای اخیر در صنایع نظامی، برق و الکترونیک، اتومبیل سازی، قطارهای برقی، ابزارهای مغناطیسی در صنایع پزشکی و ایجاد میدان های مغناطیسی بسیار بالا مستلزم استفاده از رساناهایی بالا، خواص مغناطیسی خوب و هزینه مناسب می باشد. به همین منظور تحقیقات زیادی درباره مواد مرکب و آلیاژهای مس با نیوبیوم، نیکل، آهن، کرم، نقره صورت گرفته

افرودن ذرات به کامپوزیت‌ها جهت مستحکم کردن و تقویت آن‌ها می‌باشد. خواص مکانیکی و سایشی کامپوزیت‌های تقویت شده با ذرات می‌تواند به صورت قابل توجهی نسبت به فاز زمینه ببهود یابد [۶]. اخیراً تلاشهای زیادی برای ببهود خصوصیات مغناطیسی صورت گرفته است. برای ببهود و پیشرفت در این حوزه احتیاج به یک ترکیب جدید با اشباع مغناطیسی بالاتری می‌باشد. مس فلزی است با قابلیت هدایت الکتریکی و حرارتی بالا و جزء فلزات دیا مغناطیسی می‌باشد [۷]. به منظور ببهود خواص مغناطیسی می‌توان از کامپوزیت شدن آن با مواد و یا فلزات با خواص مغناطیسی بالا سود جست.

اکسید آهن (مگنتیت) به عنوان ماده فری مغناطیس شناخته می‌شود، که در دمای اتاق رفتاری آبرپارامغناطیسی از خود نشان می‌دهد و دارای نفوذ پذیری بیشتر از فرو مغناطیس‌ها می‌باشد [۸].

با قرار دادن اکسید آهن در بین لایه‌ها، کامپوزیت لایه‌ای با ساختار ریز دانه و خواص مغناطیسی بالا ایجاد شده است. ایجاد ماده مرکب  $\text{Cu}/\text{Fe}_3\text{O}_4$  و بررسی خواص مکانیکی و مغناطیسی کامپوزیت لایه‌ای حاصل از فرآیند نورد تجمعی (ARB) اساس مطالعه در این تحقیق می‌باشد.

## ۲- روش پژوهش

### ۱-۲ مواد اولیه

مواد مورد استفاده در این پژوهش ورقهای مس خالص تجاری می‌باشد که ترکیب، ابعاد و ویژگی‌های آن در جداول ۱ و ۲ مشخص شده است.

جدول(۱): مشخصات ورقهای اولیه مورد استفاده.

جنس ورق	تولید شیمیایی (درصد وزنی)	ابعاد ورق
مس خالص تجاری	۹۸/۴Cu, ۰/۶Zn, ۰/۱۸Fe, ۰/۲۲Pb, ۰/۴۸Co, ۰/۰۱۹Sn, ۰/۰۱۲Cd, ۰/۰۰۹Cr	۱۲۰×۵۰×۱ mm

جدول(۲): خواص مکانیکی فلز مس بکار رفته در تحقیق

اندازه دانه از طریق رابطه معروف هال- پیچ<sup>۱</sup> و بصورت زیر بیان می‌شود:

$$\sigma_y = \sigma_0 + kd^{-1.2}$$

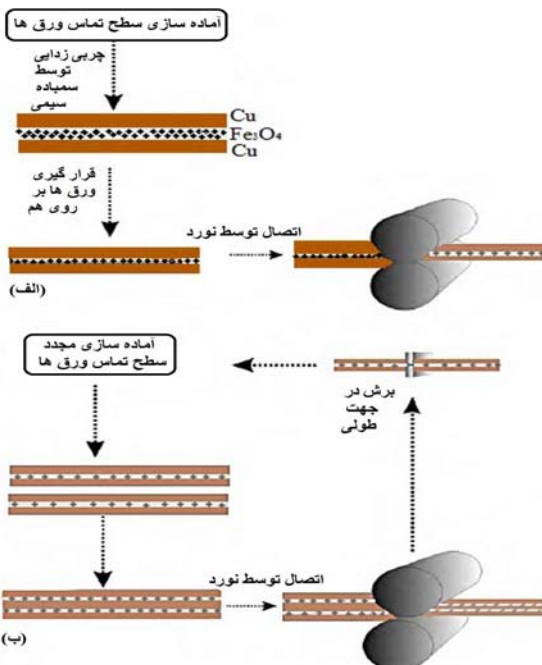
که در آن  $\sigma_y$  تنش تسلیم،  $\sigma_0$  مقاومت شبکه،  $d$  اندازه دانه و  $k$  ثابتی است که به جنس ماده بستگی دارد. رابطه فوق نشان می‌دهد که استحکام ماده با عکس مجذور اندازه دانه رابطه دارد. به عبارتی با ریز شدن اندازه دانه، استحکام ماده افزایش می‌یابد [۱]. یکی از روش‌هایی که ریز شدن اندازه دانه را به همراه دارد تغییر شکل بسیار زیاد و یا شدید<sup>۲</sup> (SPD) می‌باشد. در حقیقت این روش بر پایه ایجاد کرنش‌های پلاستیک بسیار زیاد در ماده استوار و به روشهای تغییر شکل بسیار زیاد معروف می‌باشدند. تغییر شکل‌های شدید پلاستیک ناشی از انواع فرآیندهای مکانیکی می‌تواند سبب ایجاد ساختار نانو و در مواردی تغییر ترکیب شیمیایی گردد [۴-۲].

یکی از روشهای موفق SPD، اتصال از طریق نورد تجمعی ARB<sup>۳</sup> (ARB) می‌باشد. فرایند اتصال نورد تجمعی یکی از فرآیندهای تغییر شکل شدید پلاستیک می‌باشد که توسط تسویجی وسیتو در سال ۱۹۹۸ برای ساخت مواد حجمی ابداع شد [۲]. در این فرایند تغییر شکل پلاستیک زیادی از طریق چند مرحله نورد متوالی انجام می‌گیرد. مزیت این روش توانایی در تولید ورق با ساختار نانو در مقیاس صنعتی می‌باشد به همین دلیل از این روش اخیراً در تولید کامپوزیت‌های چند لایه استفاده شده است [۵].

این روش در واقع نوعی از فرایند ایجاد تغییر شکل پلاستیک در ماده می‌باشد که به کمک آن می‌توان بدون تغییر قابل ملاحظه در ابعاد قطعه، کرنش‌های پلاستیک بسیار زیادی در ماده ایجاد نمود. در سالهای اخیر کامپوزیت‌های فلزی چند لایه به علت خواص مکانیکی، الکتریکی و مغناطیسی بر جسته مورد توجه زیادی واقع شده اند [۵].

در اکثر تحقیقات صورت گرفته از یک فلز یا آلیاژ برای فرایند ARB استفاده شده و تولید کامپوزیت لایه‌ای در حضور ماده سرامیکی کمتر مورد توجه قرار گرفته است. ایده کلی برای

سبب ایجاد قویترین اتصال لایه‌ای بین ورق‌ها می‌شود. در پژوهش حاضر به منظور مقایسه و برآورد تأثیر افزودن ذرات  $Fe_3O_4$  دو نوع کامپوزیت با درصدهای وزنی ۱ و ۲ درصد اکسید آهن ساخته شد. پس از آماده‌سازی سطح بین دو ورق مس با ابعاد یکسان یک لایه پودر  $Fe_3O_4$  (۰.۱٪ وزنی) با الکت به گونه‌ای یکنواخت پراکنده شد. سپس دو انتهای مجموعه ورق‌ها با سیم مسی بسته شدند تا حین نورد روی هم نلغزند. پس از پیش گرمایش ( $300^{\circ}C$  به مدت ۱۰ دقیقه) ورق‌ها با یک کاهش سطح بیش از ۶۰ درصد نورد شدند. نمونه پس از پاس صفرم از وسط نصف و پس از آماده سازی مجلد و مهار چهار گوشه آن و اعمال پیش گرمایش مجددأ تحت نورد با ۵۰ درصد کاهش ضخامت قرار گرفت و این فرآیند تا ۵ مرحله ادامه پیدا کرد. تمام فرآیندهای نورد بدون استفاده از روانکار با سرعت ۴۰ دور بر دقیقه و قطر غلطفک ۱۸۰ میلیمتر انجام شد.



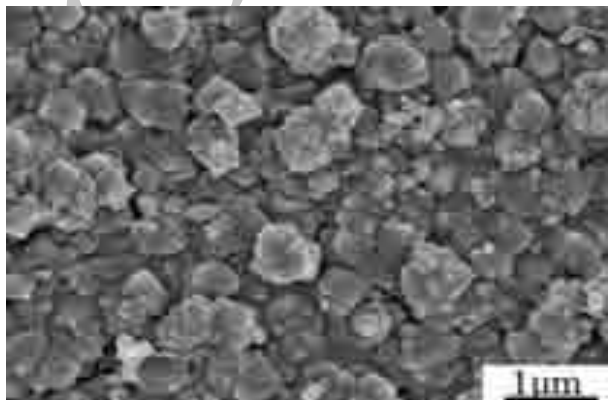
شکل(۲): شماتیکی از مراحل مختلف فرایند نورد جهت اتصال ورق: ، الف) نورد اتصالی، ب) نورد اتصالی تجمعی.

پس از تولید کامپوزیت مورد نظر نمونه‌هایی از هر مرحله فرآیند ARB جهت انجام آزمایشات تهیه گردید. نحوه جوش خوردن

فلز	افزایش طول (%)	سختی (HV)	استحکام تسیم (Mpa)
مس	۳۲/۸	۶۲	۸۷/۵

## ۲-۲ تولید کامپوزیت لایه‌ای مس-اکسید آهن(مگنتیت)

به منظور ساخت کامپوزیت لایه‌ای مس-اکسید آهن از ورق مس خالص تجاری با خلوص ۹۹/۹ درصد و پودر  $Fe_3O_4$  با اندازه ذره ۱ میکرون استفاده شد. ذرات اکسید آهن در شکل (۱) نشان داده شده است.

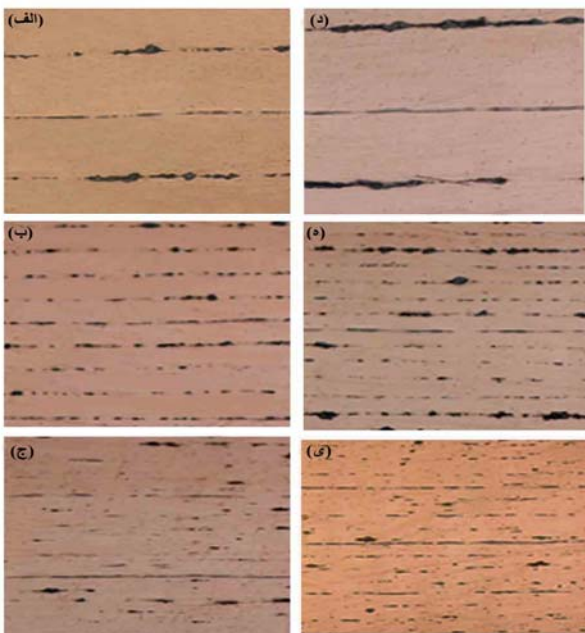


شکل(۱): ذرات  $Fe_3O_4$ .

برای انجام فرآیند در ابتدا ورق‌های مس در ابعاد مشخص برشکاری شدند. از دو نوار مسی به ضخامت ۱ میلی متر و ابعاد  $۱۲ \times ۵$  سانتی متر برای شروع فرآیند استفاده شد. جهت ساخت کامپوزیت ابتدا ورق‌ها با استون شسته و چربی زدایی گردید سپس برای ایجاد پیوند با استحکام بیشتر از سمباده سیمی دوار که قابلیت بسته شدن بر روی دریل را دارد با اندازه قطر ۴/۰ میلیمتر استفاده شد. روند انجام فرایند ARB برای کامپوزیت مس-اکسید آهن(مگنتیت) در شکل ۲ نشان داده شده است. مقایسه بین نورد اتصالی و نورد اتصالی تجمعی برای کامپوزیت مس-اکسید آهن(مگنتیت) در این شکل آمده است. استفاده از سمباده سیمی بالاترین زبری سطح را ایجاد کرده و

شکل ۴ تصویر ماکروسکوپی کامپوزیت  $\text{Cu}/\text{Fe}_3\text{O}_4$  با درصدهای مختلف وزنی ۱ و ۲ درصد اکسید آهن ( $\text{Fe}_3\text{O}_4$ ) تهیه شده تا ۵ سیکل را نشان می‌دهد. همراه با افزودن لایه تقویت کننده بین ورق‌ها، کاهش سطح مقطع مختلف مورد بررسی قرار گرفت.

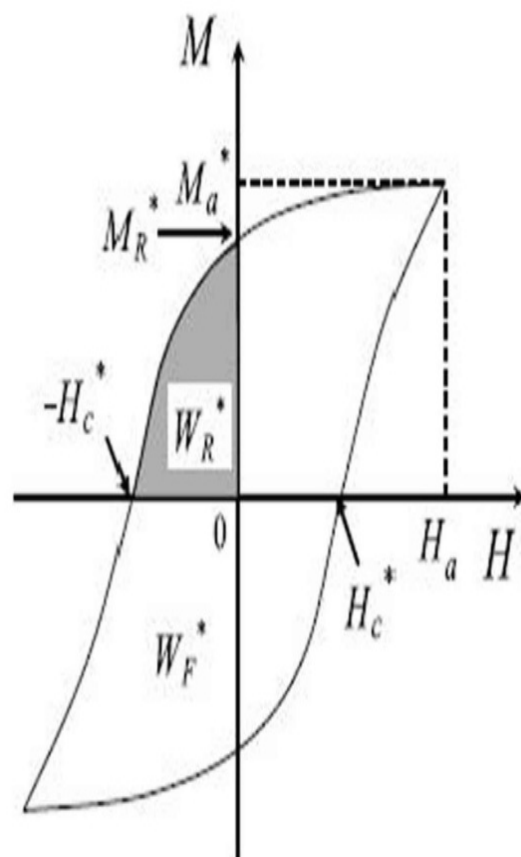
با توجه به شکل ۴ که تصویر میکروسکوپ نوری مقطع کناری ورق‌ها را نشان می‌دهد این نتیجه استنباط می‌شود که در مرحله افروزدن پودر  $\text{Fe}_3\text{O}_4$  در صد کاهش سطح مقطع بیش از ۶۰ درصد و پس از آن حین فرایند ARB، ۵۰ درصد کاهش سطح مقطع، سبب ایجاد جوش سرد مناسب و ماده‌ای یکپارچه ای شده است. ورق‌ها تا سیکل پنجم بدون عیب فرآیند ARB را پشت سر گذاشتند. اما افزایش چگالی نابهنجایی و کاهش اندازه دانه سبب افزایش کرنش ماده و در نتیجه تردی گردید که این امر سبب پارگی ورق‌ها پس از سیکل پنجم ARB شد.



شکل (۴): تصویر میکروسکوپ نوری از: (الف) پاس اول، (ب) پاس سوم، (ج) پاس پنجم با ۱٪ وزنی پودر  $\text{Fe}_3\text{O}_4$ - (د) پاس اول، (ه) پاس سوم، (ی) پاس پنجم با ۲٪ وزنی پودر  $\text{Fe}_3\text{O}_4$  بزرگنمایی ۲۰۰X.

در مورد اثر وجود پودر تقویت کننده بین ورق‌ها بر نحوه جوش سرد اختلاف نظر وجود دارد. لیو و همکارانش در تحقیقات

ورق‌ها، چگونگی توزیع ذرات  $\text{Fe}_3\text{O}_4$  در زمینه مس و ریز ساختار با استفاده از میکروسکوپ نوری مورد مطالعه قرار گرفت و در نهایت برای مطالعه خواص مکانیکی حداکثر (استحکام کششی)، مقدار افزایش طول و منحنی‌های تنش و (Zwick) آزمون استحکام کششی با استفاده از دستگاه ۲۵۰ صورت گرفت. در پایان تحلیل و بررسی اندازه گیری خواص مغناطیسی شامل اشباع مغناطیسی ( $M_s$ )، پسماند مغناطیسی ( $M_R$ ) و نیروی وادارندگی مغناطیسی ( $H_c$ ) با استفاده از روش مغناطیسی سنج با نمونه ارتعاشی<sup>۴</sup> VSM صورت گرفت. در شکل ۳ عوامل تاثیرگذار در حلقه هیسترزیس نمایش داده شده است.



شکل (۳): پارامترهای تاثیرگذار در حلقه هیسترزیس.

## ۳- نتایج و بحث

### ۱- بررسی تحولات ریز ساختاری

مسئله‌ای که وجود دارد این است که اولاً در حالت حضور ذرات، تنش آستانه‌ای بیشتری برای غلبه بر لایه اکسیدی سطح نیاز بوده تا مقابله فلزات بکر زیر سطحی را سبب شده و ثانیاً اگر چه ذرات به شکسته شدن لایه اکسیدی در سطح کمک کرده اند، اما از طرفی نیز خود به عنوان مانعی در جهت تماس سطوح بکر فلزات با همدیگر و برقراری پیوند می‌باشد.

شایان ذکر است که به منظور دستیابی به ویژگی‌های بهینه‌ی یک کامپوزیت، به ویژه بهترین ترکیب استحکام بالا و شکل پذیری مناسب، تقویت کننده‌ای ریز و کسر جمی بالایی از ذرات لازم است، اما بکارگیری این دو با مشکلاتی همراه است زیرا در کامپوزیت‌ها با ذرات ریز، تمایل به توزیع غیر یکنواخت ذرات و ایجاد خوش‌ها و آگلومره‌های ذرات پودر زیاد است که این باعث افت شدید شکل پذیری و کاهش داکتیلیتی ماده می‌شود.

### ۲-۳ بررسی خواص مکانیکی کامپوزیت‌های مس-اکسید آهن تولید شده به روش ARB

به منظور بررسی استحکام کامپوزیت‌های لایه‌ای مس تقویت شده با ذرات اکسید آهن با درصدهای وزنی ۱ و ۲ درصد طی مراحل مختلف فرآیند از آزمون کشش تک محوری استفاده گردید. آزمایش کشش طبق استاندارد ASTM-E8 توسط دستگاه ZWICK-Z250 با نرخ کرنش ۰.۰۰۲ بر ثانیه صورت گرفت. منحنی تنش-کرنش در سیکل‌های مختلف فرآیند ARB در شکل ۵ نشان داده شده است.

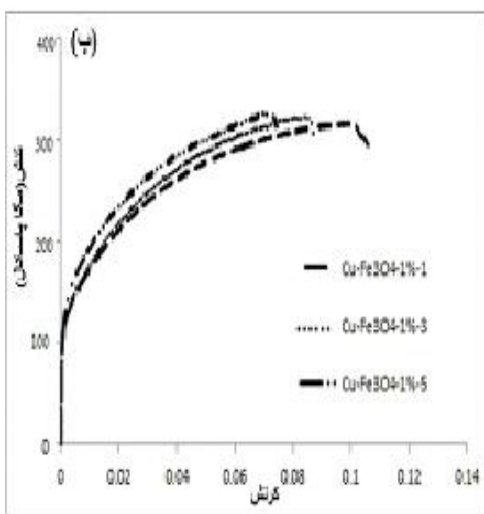
مطابق شکل ۵ استحکام تسلیم و استحکام کششی کامپوزیت  $Cu/Fe_3O_4$  با افزایش سیکل‌های فرایند ARB افزایش یافته است. همانطور که در شکل ۵ مشاهده می‌شود در پاس‌های ابتدایی فرآیند ARB که شامل نرخ‌های کار سختی بالاتر می‌باشد افزایش استحکام از کار سختی ماده سرچشمه می‌گیرد. همچنین واضح است که کاهش اندازه دانه سبب افزایش استحکام نهایی ماده می‌شود. مطابق شکل ۶ مقایسه بین استحکام کششی کامپوزیت‌های  $Cu/Fe_3O_4$  و مس خالص ARB شده

خود اشاره کرده‌اند که حضور ذرات بین ورق‌ها کیفیت جوش را بهبود می‌دهد زیرا ذرات با ایجاد تمرکز تنش حین نورد، ترک‌های سطحی را افزایش می‌دهند [۶].

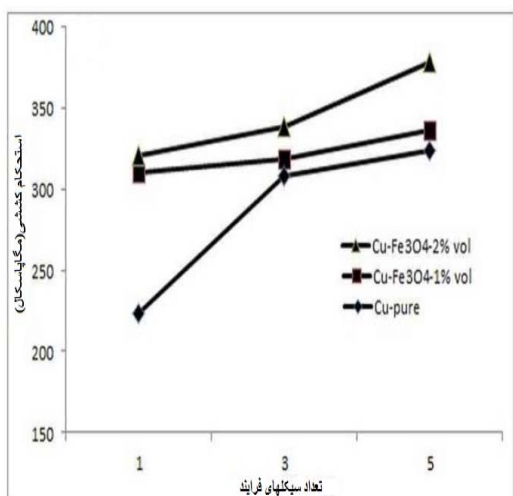
همچنین گزارش شده است که حضور ذرات با کاهش سطح تماس فلز-فلز اثر منفی بر کیفیت و استحکام جوش دارد [۹]. با این حال در این آزمایش با ایجاد کاهش سطح مقطع بالاتر از ۶۰ درصد در مرحله اول که پودر تقویت کننده بین لایه‌های مس وجود دارد و کاهش سطح مقطع ۵۰ درصدی در مراحل بعدی ARB جوش سرد مناسب و ماده‌ای یکپارچه بدست آمد. مشاهدات صورت گرفته در این تحقیق حاکی از آن بود که حضور ذرات تقویت کننده بین ورق‌ها با کاهش سطح تماس فلز-فلز و همچنین بدليل تجمع و آگلومره شدن ذرات اثر منفی بر کیفیت و استحکام جوش دارد.

همانطور که در شکل ۴ نیز قابل مشاهده است با افزایش سیکل‌های نورد ضخامت لایه‌های شامل ذرات  $Fe_3O_4$  کاهش یافته و در نتیجه ذرات در زمینه مسی پخش شده اند همچنین همانطور که از شکل ۴ استنباط می‌شود افزایش سیکل‌های ARB سبب پخش شدن یکنواخت تر ذرات  $Fe_3O_4$  در زمینه مس شده است. واضح است که با پیشرفت فرآیند ARB تعداد لایه‌ها به گونه‌ای مداوم افزایش یافته که سبب افزایش همگنی توزیع در جهت عمود ورق می‌شود. مطلب دیگر که باید مد نظر داشت، بحث وجود یک تنش آستانه‌ای لازم جهت برقراری پیوند بین لایه‌های فلزی است.

اگر مقدار تنش بکار رفته از مقدار تنش آستانه‌ای کمتر باشد، سطوح بکر فلز نمی‌تواند پیوندی قوی با هم برقرار کنند. این تنش آستانه‌ای با حضور ذرات افزایش می‌یابد که بر مبنای فرضیه سد انرژی<sup>۵</sup> است و پیشنهاد می‌کند که باید بر یک سد انرژی قبل از اینکه دو فلز با هم اتصال برقرار کنند، غلبه کرد. بالاتر از این مقدار استحکام پیوند ایجاد شده به سرعت افزایش می‌یابد و کمتر از این مقدار نیز آلدگی‌های موجود در سطح، تماس دو فلز بکر با هم را به تاخیر می‌اندازند و سبب کاهش استحکام پیوند ایجاد شده می‌شود [۱۰].



شکل (۵): منحنی تنش - کرنش کامپوزیت لایه ای  $\text{Cu}/\text{Fe}_3\text{O}_4$  با درصد وزنی ۱٪ و ۲٪.



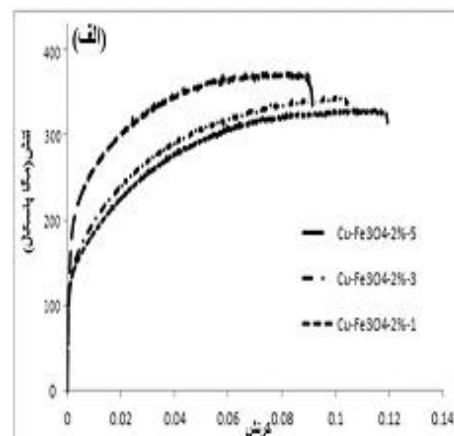
شکل (۶): مقایسه استحکام کششی نهایی در کامپوزیت لایه ای  $\text{Cu}/\text{Fe}_3\text{O}_4$  و  $\text{Cu}$  ریز ساختار تولید شده به روش ARB

**۳-۳ ریزسختی**  
برای اندازه گیری سختی نمونه ها از دستگاه سختی سنج ویکرز مدل Bohler با بار ۲۵ گرم و زمان توقف ۱۰ ثانیه استفاده گردید. صفحه جانی نمونه ها در سیکل های مختلف فرآیند ARB تحت سختی سنجی قرار گرفت. همانطور که در شکل ۷ مشاهده می شود حضور ذرات تقویت کننده  $\text{Fe}_3\text{O}_4$  تاثیر بسزای در افزایش استحکام داشته است. علاوه بر این مطابق شکل ۵ مشاهده می گردد، کاهش کرنش تدریجا تا پاس پنجم نورد بوده که این تردی و کاهش کرنش نیز به سبب تأثیر کرنش سختی می باشد.

مشاهده می شود حضور ذرات تقویت کننده  $\text{Fe}_3\text{O}_4$  تاثیر بسزای در افزایش استحکام داشته است. علاوه بر این مطابق شکل ۵ مشاهده می گردد، کاهش کرنش تدریجا تا پاس پنجم نورد بوده که این تردی و کاهش کرنش نیز به سبب تأثیر کرنش سختی می باشد.

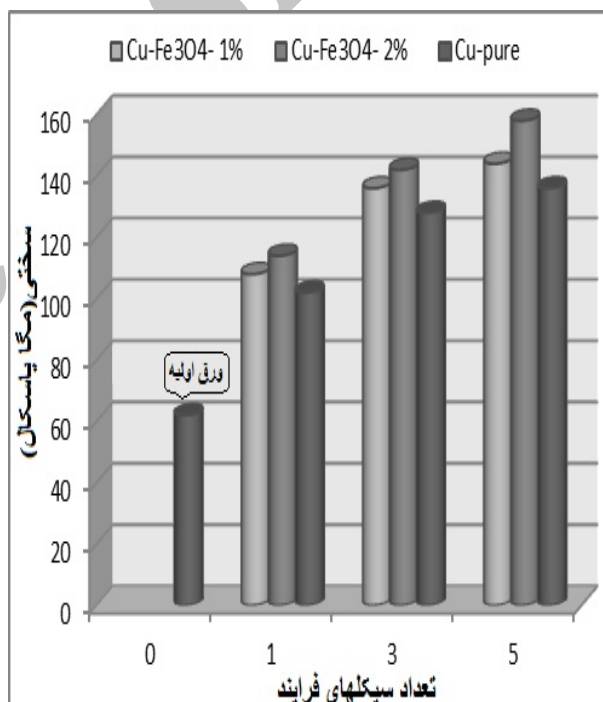
مطابق شکل ۶ با افزایش تعداد سیکل های نورد، استحکام کششی برای هر دو نمونه کامپوزیت افزایش می یابد. طبق نتایج تحقیقات گزارش شده توسط سیتو افزایش استحکام در فرآیند نورد تجمعی شامل دو مکانیزم اصلی استحکام بخشی می باشد: (الف) افزایش کرنش سختی ناشی از نابجایی ها و (ب) بهبود اصلاح اندازه دانه [۳-۲]

بطور کلی با توجه به شکل ۵ می توان دریافت که افزایش طول ARB کامپوزیت لایه ای مس- اکسید آهن در طی مراحل ARB کمتر از مس خالص ARB شده می باشد که این می تواند به دلیل حضور ذرات  $\text{Fe}_3\text{O}_4$  و نحوه پراکندگی آن در زمینه مس باشد. همچنین با افزایش تعداد سیکل های فرآیند ARB نقش ذرات تقویت کننده  $\text{Fe}_3\text{O}_4$  بدليل پراکندگی یکنواخت افزایش می یابد که این تغییرات در مجموع سبب کاهش داکتیلیته در کامپوزیت مذکور می گردد.



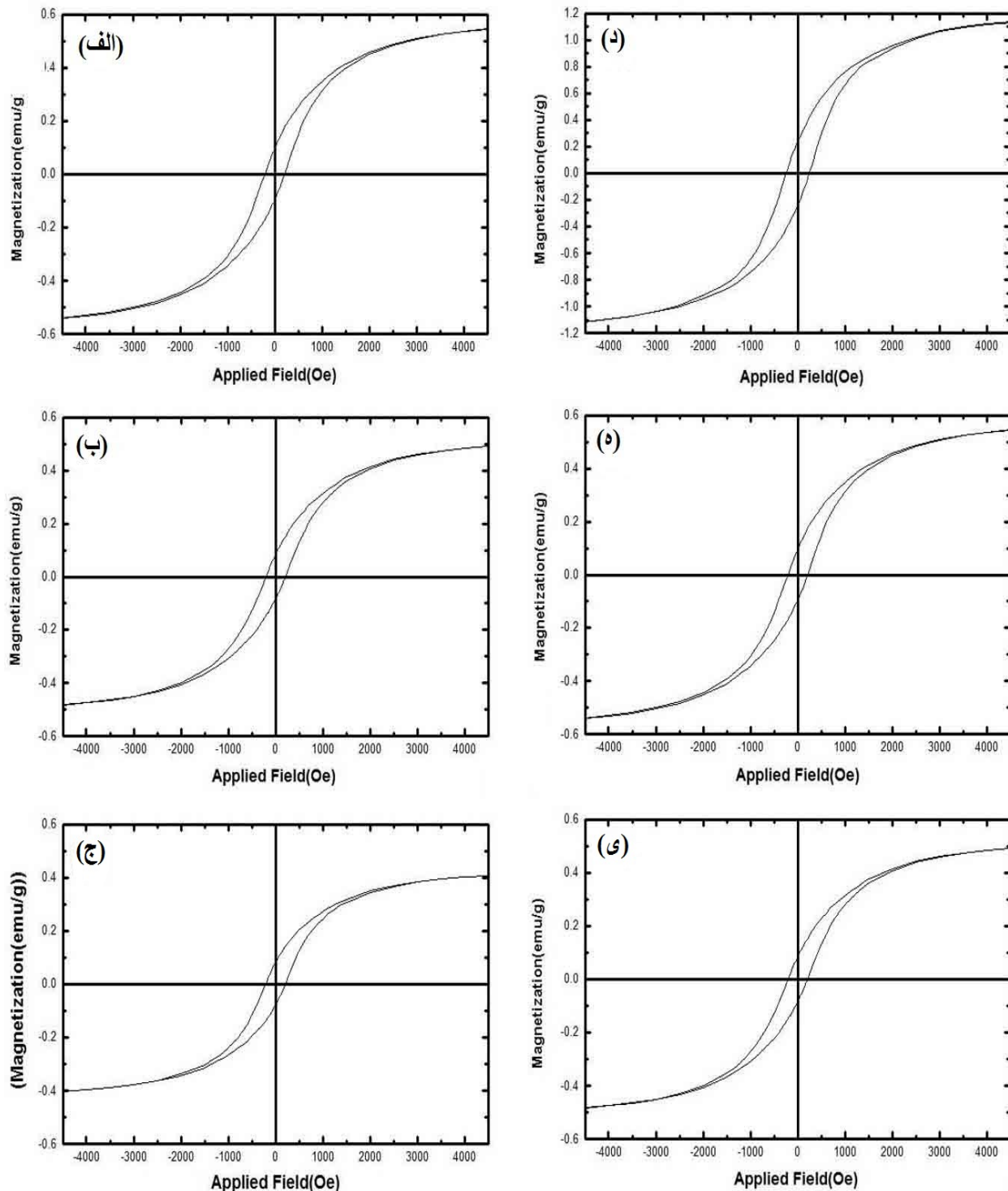
نمودار هیسترزیس مربوط به کامپوزیت زمینه مسی همراه با ۰.۱٪ و ۰.۲٪ وزنی ذرات تقویت کننده  $Fe_3O_4$  در طی سیکل های مختلف فرایند ARB در شکل ۸ نشان داده شده است. همانطور که در نمودارهای هیسترزیس شکل ۸ می توان مشاهده نمود مقادیر پسماند مغناطیسی ( $M_R$ ) نسبت به مقادیر نیروی وادارنگی مغناطیسی ( $H_C$ ) بسیار کوچکتر بوده، همچنین حضور ذرات  $Fe_3O_4$  سبب ایجاد حلقه مغناطیسی پهنی گردیده است. نمودار فوق نشانگر ایجاد ماده مغناطیس سخت یا دائمی می باشد. اینگونه مواد به وادارنگی مغناطیسی مقاوم می باشند و به سختی آهنربا می شوند؛ یعنی، حجم حوزه ها در آن ها به سختی تغییر می کند. این مواد حلقه مغناطیسی پهنی داشته، دارای مقادیر بالای نیروی وادارنگی مغناطیسی ( $H_C$ ) بوده و در مقابل مغناطیس شدن مقاومت زیادی از خود نشان می دهند، همچنین دارای ظرفیت نفوذ اولیه پایین هستند. قابلیت نفوذپذیری یک ماده، معرف توانایی آهنربایی شدن آن ماده در حضور میدان خارجی می باشد. در این مواد، سمت گیری دوقطبی های مغناطیسی حوزه ها پس از حذف میدان خارجی به سهولت تغییر نمی کند [۱۲-۱۳]. به عبارت دیگر، پس از برداشتن میدان مغناطیسی خارجی، ماده ی مغناطیس سخت، خاصیت آهنربایی خود را حفظ می کند. به همین دلیل از این مواد برای ساختن آهنرباهای دائمی استفاده می کنند. با توجه به شکل ۹ با افزایش سیکل های فرایند ARB، پسماند مغناطیسی ( $M_R$ ) و مقدار نیروی وادارنگی مغناطیسی ( $H_C$ ) برای هر دو نمونه کامپوزیت  $Cu/Fe_3O_4$  همراه با بهبود اندازه دانه افزایش می یابد. همچنین افزایش درصد حضور ذرات  $Fe_3O_4$  در کامپوزیت سبب بهبود و افزایش مقادیر پسماند مغناطیسی و نیروی وادارنگی مغناطیسی می گردد که افزایش این دو عامل تاثیر بسزایی در خواص مغناطیسی مواد دارد.

در پاسهای اولیه بیشتر از پاسهای بعدی است زیرا عمدۀ تجمع نابجایی ها و کار سختی در پاسهای اولیه رخ می دهد [۳-۲]. شکل ۷ افزایش ریزسختی با افزایش تعداد پاس های فرایند را نشان می دهد. مشاهده می شود که پس از نورد اتصالی اولیه مس و ذرات تقویت کننده، افزایش قابل ملاحظه ای در سختی کامپوزیت ها رخ می دهد. افزایش سریع سختی با کاهش کرنش ها می تواند به سخت شدن کرنشی مربوط باشد [۱۰]. رفتار سخت شدن نشانگر اشباعی از کرنش های بزرگ در مواد فوق العاده ریزدانه که با روش های تغییر شکل شدید پلاستیک ایجاد شده اند، می باشد [۱۱].



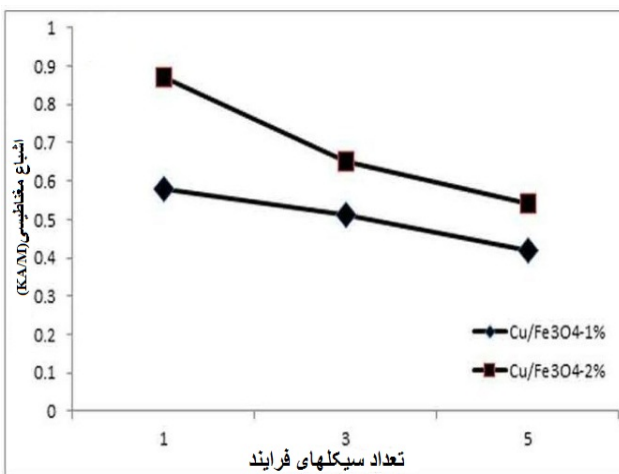
شکل (۷): مقایسه ریزسختی کامپوزیت های  $Cu/Fe_3O_4$  و مس خالص ARB شده.

#### ۴-۳ بررسی خواص مغناطیسی کامپوزیت های مس - ARB اکسید آهن تولید شده به روش



شکل (۸): تصاویر نمودار هیسترزیس مرحله های مختلف فرایند ARB (الف) پاس اول، (ب) پاس سوم، (ج) پاس پنجم با ۱٪ وزنی پودر  $\text{Fe}_3\text{O}_4$ - (د) پاس اول، (ه) پاس سوم، (ي) پاس پنجم با ۲٪ وزنی پودر  $\text{Fe}_3\text{O}_4$

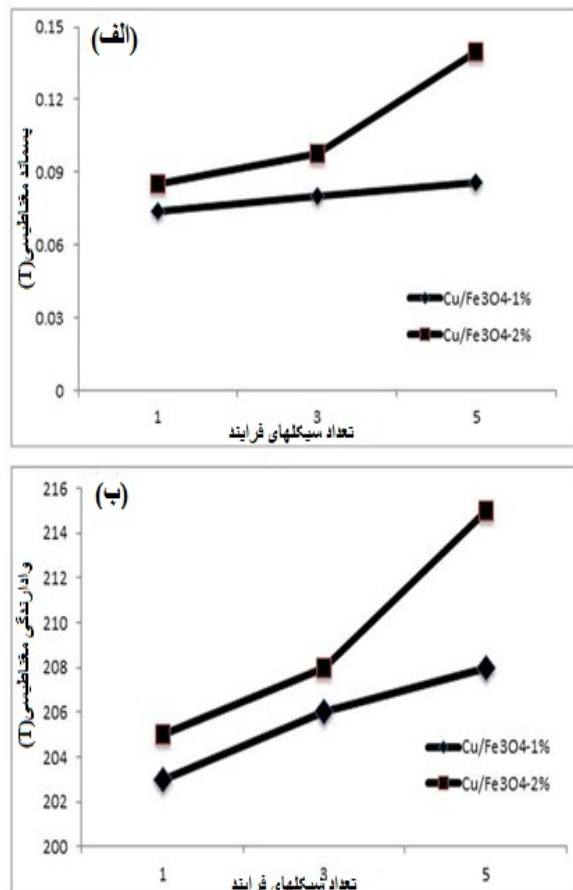
ایجاد کوپل نیرو بین دو قطبی های اتمی مجاور سبب انحراف دو قطبی ها و قرار گیری قطبها در جهت خلاف میدان نیروی خارجی می گردد، که بطور قطع دلیل آن می تواند افزایش عوامل انحرافی همچون افزایش نابجایی ها و افزایش مرز دانه ها باشد که منجر به کاهش اشباع مغناطیسی گردیده است [۱۴-۱۵].



شکل (۱۰): مقایسه اشباع مغناطیسی کامپوزیت مس با درصد های مختلف ذرات  $Fe_3O_4$  در طی سیکل های مختلف فرایند ARB.

##### ۵- نتیجه گیری

- با افزایش سیکل های فرایند ARB، یکنواختی توزیع ذرات و همچنین کیفیت اتصال میان ذرات  $Fe_3O_4$  در ماتریس مس بهبود یافته است. کامپوزیت تولید شده در مرحله پنجم نشانگر توزیع یکنواخت و پیوند قوی میان ذرات اکسید آهن و ماتریس مس می باشد.
- استحکام کششی و سختی کامپوزیت با افزایش سیکل های فرایند ARB افزایش یافته است. همچنین نتایج نشانگر کاهش کرنش و داکتیلیه و افزایش تردی در طی مراحل ARB می باشد.
- نمودارهای هیسترزیس برای تمام نمونه های کامپوزیت  $Cu/Fe_3O_4$  نشانگر افزایش پسماند مغناطیسی و وادارندگی مغناطیسی همراه با افزایش ذرات  $Fe_3O_4$  در طی سیکل های فرایند ARB می



شکل (۹): مقایسه خواص مغناطیسی کامپوزیت مس با درصد های مختلف ذرات  $Fe_3O_4$  در طی سیکل های مختلف فرایند ARB (الف) منحنی پسماند مغناطیسی، (ب) منحنی نیروی وادارندگی مغناطیسی.

بطوریکه می توان مشاهده نمود استفاده از ذرات  $Fe_3O_4$  و افزایش درصد آن در کامپوزیت تاثیر موثر و چشمگیری در ایجاد ماده مغناطیس سخت یا دائمی در مس که فلزی دیا مغناطیس می باشد، داشته است. در کلیه مواد دو حالت مربوط به اشباع مغناطیسی وجود دارد که مربوط به نحوه قرار گیری قطبها بصورت هم جهت و یا در جهت خلاف میدان می باشد و زمانی به حد اکثر مقدار خود می رسد که تمام دو قطبی های مغناطیسی در قطعه هم جهت با میدان خارجی قرار گیرند [۱۳-۱۴].

همانطور که در شکل ۱۰ مشاهده می شود افزایش سیکل های فرایند ARB سبب کاهش اشباع مغناطیسی گردیده است. زیرا

Application of Nanocrystalline Structures in Magnetic”, Materials, Physical B, Vol.75, pp. 275-281, 2000.

- [8] M. Michael, RD. Shull, LJ. Swartzendruber, LH. Bennett & R.E. Watson,” Magnetocaloric effect in super paramagnets”, Journal of Magnetic Material, Vol. 111, pp. 29-33, 1992.
- [9] M. Alizade, H. Paydar, “Fabrication of nanostructure Al/SiCp composite by accumulated roll binding process” journal of Alloy and Compounds, Vol. 492, pp. 231-235, 2010.
- [10] M. Alizadeh, “Comparison of nanostructured Al/B<sub>4</sub>C composite produced by ARB and Al/B<sub>4</sub>C composite produced by RRB process”, Materials Science and Engineering A, Vol. 528, pp. 578–582, 2010.
- [11] X. Huang, N. Kamikawa & N. Hansen, “Strengthening mechanisms in nanostructured aluminum, Material Science and Engineering A, Vol. 483, pp. 102–104, 2008.
- [12] B.N. Mondal, A. Basumallick,” Magnetic behavior of Nano crystalline Cu–Ni–Co alloys prepared by mechanical alloying and isothermal annealing”, Journal of Alloys and Compounds, Vol. 457, pp. 10–14. 2008.
- [13] S. Kobayashi, H. Hikuchi & S. Takahashi,” The effect of copper and manganese on magnetite minor hysteresis loops in neutron irradiated Fe model alloy”, Journal of Nuclear Materials, Vol. 384, pp. 109–114, 2009.
- [14] F. Keffer,” The magnetic properties of materials.” Scientific American, Vol. 207, pp. 222–234, 1967.
- [15] D. Jiles, “Introduction to magnetism and magnetic materials”, nelson Thornes, Cheltenham, UK, pp. 186-194, 1998.

باشد و به دلیل ماهیت دیا مغناطیسی مس، سبب ایجاد ماده سخت مغناطیسی گردیده است. همچنین مقادیر اشباع مغناطیسی با افزایش تعداد لایه ها و افزایش تعداد سیکلهای فرایند ARB کاهش می یابد.

## ۶- مراجع

- [1] K. Sanusi, G. J. Oliver,” Effect of grain size on mechanical properties of nanostructured copper alloy by severe plastic deformation process”, Journal of engineering, design and technology, Vol.7, pp. 335-341, 2009.
- [2] N. Tsuji, Y. Ito, Y. Saito & Y. Minamino, ”Strength and ductility of ultra-fine grained aluminum and iron produced by ARB and annealing”, Scripta Mater; Vol. 47, pp. 893–899, 2002.
- [3] Y. S. Kim, S. H. Kang & D. H. Shin,” Effect of rolling direction on the microstructure and mechanical properties of accumulative roll bonding (ARB) processed commercially pure 1050 aluminum alloy”, Materials Science Forum, Vol. 503-504, pp. 681-686, 2006.
- [4] [S. C. Tjong, H. Chen, ”Nano crystalline materials and coatings”, Materials Science and Engineering, Vol. 45, pp. 1-88, 2004.
- [5] K. M. Shorowordi, A. S. M. A. Haseeb & J. P. Celis, ”Tribo-surface characteristics of Al–B<sub>4</sub>C and Al–SiC composites worn under different contact pressures”, Wear, Vol. 261, pp. 634–641, 2006.
- [6] J. Mc. Keown, A. Misra, H. Kung, RG. Hoagland & M. Nastasi.” Microstructures and strength of Nano scale Cu–Ag multi-layers”, Scripta Mater, Vol. 46, pp.593–598, 2002.
- [7] R. Grössinger, R. Sato, D. Holzer & M. Dahlgren,” Properties, Benefits, and

## 5- Energy barrier theory

## ۷- پی نوشت

- 1- Hall petch
- 2- severe plastic deformation
- 3- Accumulated roll bonding
- 4- Vibrating sample magnetometer